

大阪大学工学部 正員 室田 明

同 正員 端野 道夫

大阪府土木部 正員 ○若城 正之

## 1. まえがき

各種の水工計画において、とりわけ重要な水文事象は降雨特性であり、降雨をどの程度にとるかがその水工計画の規模を決める要因となることが多い。本研究は大阪に高潮が来襲し、水門を開鎖した時の内水排除の計画を立てて基礎資料とするために行なつたものである。このため降雨の時間的変動の様相まで確率的に追究する必要があり、極めて教少ない台風性降雨資料に起因する制約を克服し、降雨の時間的変動のパターンを何らかの方法で統計処理する新たな手法が考案されることになる。以下、大阪の台風性降雨の特性を用いたモデル降雨の設定法と、大阪府寝屋川流域でのその適用と問題点について述べる。

## 2. 台風性モデル降雨の設定法

台風性降雨をシミュレートする方法として、次の二つの方法が考えられる。

## a) 力学モデルによる方法

## b) 水文統計学的手法による方法

a) の方法は台風の規模を気圧、風速等によって規定し、これをモデル台風と考え、台風うすの風速分布を求め、これから雨量分布を求めるとするものである。すなわち、台風の力学的性状を明らかにし、台風/箇当りの持つている雨量を推定しようとするものである。<sup>1)</sup> しかしながら実際の台風時の雨は台風のうすによる降雨よりも、前線を強化したり、地勢の影響を受けるものが多く、この影響まで考慮した力学モデルはその多様性からとうてい不可能に近いものとなり、こうなるとa) の方法によらざるを得ない。<sup>2)</sup> 我々はこのようを見地にひいて、大正八年から昭和40年までに大阪に来襲した台風うち、かなりの降雨のあつての箇当りの資料を用いて、降雨の特性をつかみ、シミュレーションを行なうこととした。

## 3. 台風と降雨の関連性

大阪に大きな高潮を起す台風は大阪の西方を通過するもので、大阪附近を通過する時の台風の速度はゆくへ60 km/hにおよび、この限られた時間内での降水量はそれ程多くない。また大阪の東側を通過する台風時には高潮は起らず、雨台風となると言われていた。台風の強度をその中心気圧(気圧深度)で代表せしめ、気圧深度と総降雨量の関係を調べたのが図-1である。大阪に甚大な高潮災害をもたらした室戸、ジエーニ、伊勢湾、オス室戸台風についてはこれまでに気圧深度△Pと総降雨量△Rはほとんど一直線上に位置し、この直線を外挿して、これより上側に東側通過(図中の○印)の雨台風が、直線より下側に西側通過(図中の●印)の高潮台風の資料

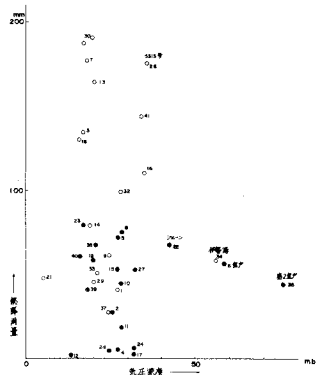


図-1 気圧深度と総降雨量

が集中していることがわかつ、このような統計的整理から前述の常識的な傾向が定量的に確認されるのである。

#### 4. 降雨要素間の相関

本研究で行う降雨解析は、最終的にはハイエトグラフの作成にあるので、観測されたハイエトグラフの特性を解析し、いくつかの降雨要素の特性および各要素相互の関係を明らかにしておく必要がある。ハイエトグラフを規定する要素として、総降雨量、ピーク降雨強度、降雨継続時間の三要素を考え、これらの相關図を図-1、図-2に示した。総降雨量とピーク降雨強度、総降雨量と降雨継続時間の相関係数はそれぞれ 0.84, 0.48 となり、これらの相関は有意であることが確認された。

#### 5. 降雨時系列の相関

ハイエトグラフの時系列特性を知るには、単位時間当たりの降雨強度を解析すると同時に、時系列としてのハイエトグラフの自己相関性を調べておく必要がある。すなわち、各時刻の降雨量がそれ以前の時刻の降雨量と関係せずランダムな値となるのが、ということを明らかにしておくことはハイエトグラフのパターンを決定する場合に重要な資料を与えることになる。この目的のためには、台風性降雨の降雨群全体の自己相関係数およびピーク前の降雨パターン、ピーク後の降雨パターンについて自己相関係数を求める必要がある。このようにして求めたコレログラムのうち代表台風による降雨のコレログラムを図-3 に示して、これらの結果から時差土ス時間までの自己相関性はかなり高く、時差土ス時間の相関性を認める降雨が多いことが明らかとなつた。

#### 6. ピーク降雨強度とその前後の時間雨量の差の頻度分布

今、ピーク降雨強度を  $R_p(\text{mm}/\text{hr})$  とし、 $R_p$  が現われる時刻の 1, 2, ...,  $i$  時間前後の降雨強度をそれぞれ、 $R_{p+1}, R_{p+2}, \dots, R_{p+i}$  とする。台風性降雨の観測ハイエトグラフから、ピーク降雨強度  $R_p$  とその前後の時間雨量の差の頻度分布は  $i=1, 2, 3, \dots$  のそれぞれの場合について求められる。その結果を図-4 に示す。ピーク前とピーク後の頻度分布は、各時間差について、ほとんど相似と見做されるので、ここでは各時間差について、ピーク前とピーク後の頻度分布を合成したものを利用するにした。この図によれば、時差  $\pm 1$  時間の mode は  $4 \text{ mm}/\text{hr}$  を示し、時差  $\pm 2$  時間の mode は  $5 \text{ mm}/\text{hr}$  、時差  $\pm 3$  時間の mode は  $6 \text{ mm}/\text{hr}$  と時差が大きくなるにつれて、当然のことながらピーク降雨強度とその時間雨量の差が大き

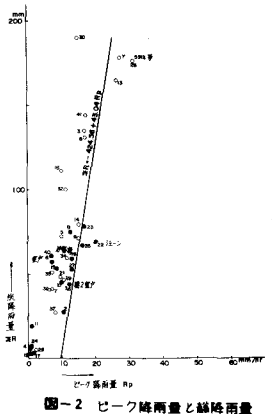


図-2 ピーク降雨量と総降雨量

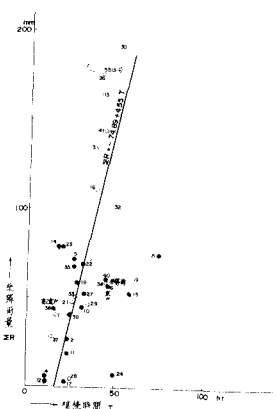


図-3 継続時間と総降雨量

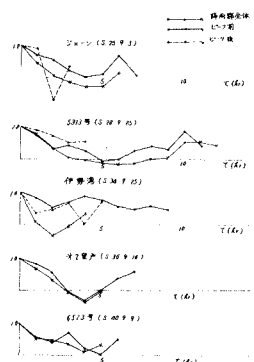


図-4 主要な台風性降雨のコレログラム

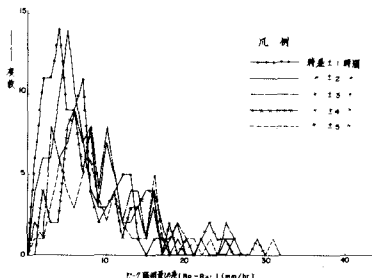


図-5 ピーク降雨強度とその前後 $\pm$ 時間の時間角量の差の頻度分布

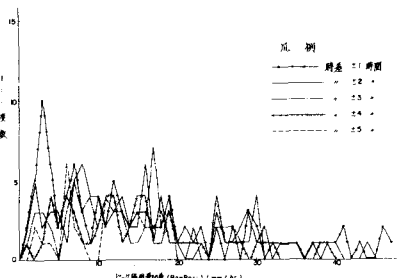


図6 基準性路重に対する図-5と同様の検討結果

くする傾向がある。一方図-6は資料数117個の前線性降雨についての同様の類度分布であるが、台風性降雨とかなり違った分布形をとることが分かる。すなわち台風性降雨の場合、modeをもつて三角形分布をとる傾向が強いが、前線性降雨の場合、明らかに modeを持たず、ほぼ正規分布をとるようである。

## 7. モデル降雨の設定と発生法

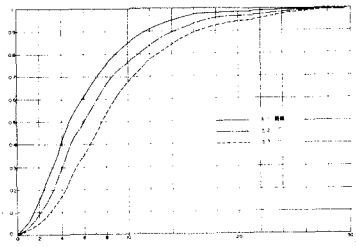


図-7 ピーク降水量と雨の前後の時間の  
降雨量の差の算積分面積

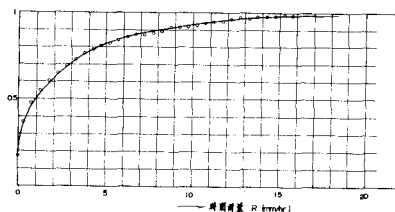


図-8 時間雨量の累積分布曲線

モデル降雨を設定する方法として、6.で述べた降雨の累積分布相関を用いる方法もあるが、本研究は内水排除用のハイドログラフ形成に着目しているため、ピーク附近の降雨を精度よくシミュレートできると思われる。6.で述べた方法を用いたことにした。まず、モデル降雨発生の半1歩として、高潮台風時のモデル降雨を考える。総降雨量は図-1より40~80mmの範囲内とする。降雨継続時間は図-1より最大の時間とする。6.で述べたピーク降雨強度との前後の時間雨量分布を使ってピークをはさんで4時間の時間雨量を規定する。すなわちこの分布を図-1のごとく累積分布の形に直し、電子計算機により一様乱数を発生させ、これに上述の累積分布に従う降雨に変換する方法をとった。4時間以上上の降雨については、ピーク降雨強度との相関は無視して差し支えないとして、台風性降雨のみならず、すべての降雨(Sample Size:約2000個)によって得られた時間雨量の累積分布曲線(図-8参照)に従う乱数を発生させ、ピーク前後4時間以上の雨量とする。降雨時間が所定の時間に達しない

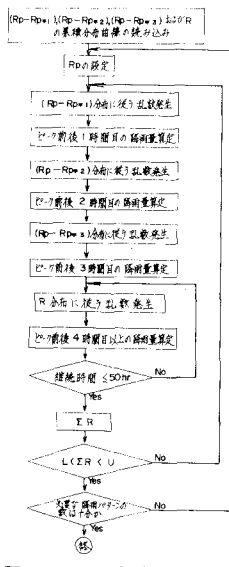


図-9 フローチャート

ならば、発生された時間雨量の総和をとり、それが断定の40～80mmの範囲に入っている場合にはその降雨パターンを採用することにした。(図-9 フローチャート参照) 雨呑風の場合、前述の総降雨量40～80mmの制約条件を除いてモデル降雨の発生をすればよい。

### 8. 濱屋川流域への適用と問題点

7. の方法によってピーク降雨量をとえれば、それに応じてモル降雨をいくつも発生することができる。従ってピーク降雨量の確率評価についての考察を試みる必要がある。台風性降雨の生起時間間隔は Random であり、年によって台風が未襲しない年であれば、又度以上未襲する年もある。従って降雨量の確率評価は ① 台風が未襲する確率を求めること。② 「台風が未襲して場合」という条件の下にその台風による降雨量の頻度分布を求めることができる。すなわち、九年間に何回台風が未襲して場合には②で求められる確率降雨に何年確率降雨量といつて表現を用いることはできず、「九年に何回の割合で台風性降雨があり、その降雨量の確率分布は……である。」という表現で降雨の確率を規定しなければならない。大阪の台風性降雨について②を求めるときの一例のようになり。

さて7の方法によれば、ピーク

降雨をとえることによって、降雨

パターンが無数に求まるので

あるが、流出解析のためにこれら

のうちどの1つを用いるかを

決めることは困難である。というのは、いくつかの降雨パターンを発生させた時、それらの平均的モル降雨というものを求めても意義がないからである。結局モル降雨設定の目的によって、それらの中から、目的に合ったモル降雨を選択するより仕方がない。我々は今回一つのピーク降雨強度に対するモル降雨を10個発生させ、我々の目的とする内水

排除に対して最も危険と思はれる台風附近に雨量が

集中し、かつ総降雨量の制限条件の上限(80mm)に近

いものをモル降雨として採用することにした。この

ようにして抽出したモル降雨に対して、現在濱屋川

水系(流域面積 269.5km<sup>2</sup>)の改修計画で使用している

Rational式およびPuls法による流出解析の方法を用いた一例を図-10に示した。このピーク降雨強度

18.8mmはジェーン台風時のその値であり、シミュレートした降雨によるピーク流量は 4.26m<sup>3</sup>/s となつた。なお、現在水門閉鎖時の内水排除計画にはジェーンの生の雨を使用しており、これによるピーク流量は 4.32m<sup>3</sup>/s である。この方法で同一ピーク降雨強度 18.8mm で何回もシミュレートすることによって、ジェーン台風の雨がどのくらいの発生確率をもつものが検証できるものと思われる。

表-1 ピーク降雨強度の超過確率

超過確率 (%)	10	5	2	1
ピーク降雨強度(mm/hr)	19.6	23.5	27.3	32.4

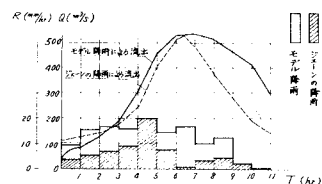


図-10 シミュレートされた降雨パターンに対するハイドログラフ

### 参考文献

1) 例えば、日本気象協会関西支部「大阪湾における台風近傍時の高潮と降雨の実測調査」

2) 例えば、室田・端野「モル降雨による土砂輸送の確率分布の推算」第2回年次学術講演会